

# 水稻白叶枯病菌 $\Delta rpf_{xoo}$ 基因缺失突变体 DSF 信号产生和毒性表达

孙蕾, 吴茂森, 陈华民, 何晨阳\*

(中国农业科学院植物保护研究所, 植物病虫害生物学国家重点实验室, 北京 100193)

**摘要:**【目的】旨在阐明 3 个 DSF/Rpf<sub>xoo</sub> 信号系统成员 Rpf<sub>Fxoo</sub>、Rpf<sub>Cxoo</sub> 和 Rpf<sub>Gxoo</sub> 在水稻白叶枯病菌 (*Xanthomonas oryzae* pv. *oryzae*, Xoo) 毒性表达中的功能。【方法】用标记置换法缺失突变 *rpf<sub>Fxoo</sub>*、*rpf<sub>Cxoo</sub>* 和 *rpf<sub>Gxoo</sub>* 基因, 测定突变体及其互补菌株的 DSF (diffusible signal factor) 信号分子产生、胞外多糖 (EPS) 产生及其对水稻的致病性。【结果】从野生型菌株 PXO99<sup>A</sup> 基因组中克隆了推测与 DSF 信号生成和传导有关的基因 *rpf<sub>Fxoo</sub>*、*rpf<sub>Cxoo</sub>* 和 *rpf<sub>Gxoo</sub>*, 获得了相应的单基因或双基因缺失突变体。与 PXO99<sup>A</sup> 产生 DSF 相比,  $\Delta rpf_{Fxoo}$ 、 $\Delta rpf_F + Cxoo$  和  $\Delta rpf_F + Gxoo$  均不产生 DSF,  $\Delta rpf_{Cxoo}$  过量产生,  $\Delta rpf_{Gxoo}$  产量降低; *rpf<sub>Fxoo</sub>*、*rpf<sub>Cxoo</sub>* 和 *rpf<sub>Gxoo</sub>* 可以分别互补 Xoo 和 Xcc 的相应基因突变体, 恢复 DSF 产生表型。除  $\Delta rpf_{Fxoo}$  的 EPS 产生无明显变化外, 其余突变体的均显著减少。所有突变体对水稻的致病性均显著下降。【结论】Rpf<sub>Fxoo</sub>、Rpf<sub>Cxoo</sub> 和 Rpf<sub>Gxoo</sub> 调控了 Xoo 的 DSF 信号生成、EPS 产生和致病性。

**关键词:** 水稻白叶枯病菌; DSF (diffusible signal factor); *rpf* 基因; 毒性; 调控

**中图分类号:** Q933    **文献标识码:** A    **文章编号:** 0001-6209 (2010) 06-0717-07

植物病原黄单胞 [如甘蓝黑腐病菌 (*Xanthomonas campestris* pv. *campestris*, Xcc)] 可利用一种新的可扩散信号因子 (DSF) (顺式-11-甲基-2-十二烯酸) 介导的群体感应 (QS) 机制, 调节毒性表达<sup>[1-2]</sup>。*rpf* 基因簇调控了 DSF 信号生成、接受和传导过程; RpfF 是乙酰辅酶 A 合成酶, 负责 DSF 信号合成。由 RpfC (感应磷酸激酶)/RpfG (应答调节蛋白) 组成了一对双组份调控系统, 负责信号感应、接受并传递, 从而调控了胞外毒性因子的合成、生物膜形成、运动性和致病性等<sup>[3-4]</sup>。

前期研究表明, 水稻白叶枯病菌 (*X. oryzae* pv. *oryzae*, Xoo) 在侵染水稻叶组织后, 其种群量与致病性表达具有典型的 QS 特征<sup>[5]</sup>, 但不清楚何种信号分子介导了这种 QS 机制。在水稻白叶枯病菌 (*X.*

*oryzae* pv. *oryzae*, Xoo) 测序菌株基因组中发现了与 Xcc 结构高度保守的 *rpf<sub>xoo</sub>* 基因簇<sup>[6]</sup>, 但对基因功能的研究结果不尽相同。*rpf<sub>Fxoo</sub>* 基因突变导致对四环素敏感和在低铁条件下出现生长缺陷, 但不影响 EPS 和胞外酶合成<sup>[7]</sup>; *rpf<sub>Cxoo</sub>* 基因突变影响 EPS 产生和致病性, 但不影响胞外酶产生<sup>[8]</sup>; *rpf<sub>Bxoo</sub>*、*rpf<sub>Fxoo</sub>*、*rpf<sub>Cxoo</sub>* 和 *rpf<sub>Gxoo</sub>* 基因突变导致致病性和 EPS 产生下降<sup>[9]</sup>。至今也尚未见到 *rpf<sub>xoo</sub>* 基因突变对 DSF 信号产生影响的有关报道。因此, 本研究构建了  $\Delta rpf_{Fxoo}$ 、 $\Delta rpf_{Cxoo}$  和  $\Delta rpf_{Gxoo}$  单基因或双基因缺失突变体, 分析了野生型菌株 PXO99<sup>A</sup> 与突变体及其互补菌株的 DSF 信号、EPS 产生及其对水稻的致病性, 阐明了 *rpf<sub>xoo</sub>* 基因与 DSF 信号分子合成、EPS 产生及其毒性表达之间的关系。

基金项目: 国家重点实验室自主研究课题专项 (SKL2009SR03); 国家农业行业科研专项经费项目 (nyhyzx07-056)

\* 通信作者。Tel: +86-10-62894147; E-mail: cyhe@caas.net.cn

作者简介: 孙蕾 (1982-), 女, 江苏人, 博士研究生, 主要从事植物-病原物分子互作的研究。E-mail: sunleisunny@163.com

收稿日期: 2009-11-24; 修回日期: 2010-01-28

# 1 材料和方法

## 1.1 材料

**1.1.1 主要试剂和仪器:**PCR 引物合成和测序由北京英骏公司(Invitrogen)完成;T4 DNA 聚合酶、限制性内切酶、Taq DNA 聚合酶购自 TaKaRa 公司,琼脂糖凝胶回收试剂盒、质粒提取试剂盒均购自北京英骏公司(Invitrogen)。

**1.1.2 供试菌株、质粒和培养条件:**供试菌株和质粒的特征和来源列于表 1。Xoo 和 Xcc 菌株在 28°C PSA 培养基(蛋白胨 10 g/L, 蔗糖 10 g/L, 谷氨酸 1.0 g/L, pH7.0)上培养。大肠杆菌(*Escherichia coli*)在 37°C LB 培养基上培养。试验用抗生素浓度为: 庆大霉素(Gm) 50 mg/L、卡那霉素(Kan) 50 mg/L、氨苄青霉素(Amp) 100 mg/L、壮观霉素(Sp) 40 mg/L、利福霉素(Rif) 50 mg/L。

表 1 本研究供试菌株和质粒

Table 1 The bacterial strains and plasmids used in this study

Strain or plasmid	Characteristics	Source
<i>Escherichia coli</i>		
DH5 $\alpha$	$\phi$ 80 lacZ $\Delta$ M15, $\Delta$ (lacZYA-argF) U169, recA1, endA1, thi-1	Our laboratory
<i>X. oryzae</i> pv. <i>oryzae</i>		
PXO99 <sup>A</sup>	Wild-type strain, Philippine race 6	Our laboratory
$\Delta$ rpf $F_{xoo}$	Gm <sup>R</sup> , rpf $F_{xoo}$ gene replaced by Gm <sup>R</sup>	This study
$\Delta$ rpf $C_{xoo}$	Gm <sup>R</sup> , rpf $C_{xoo}$ gene replaced by Gm <sup>R</sup>	This study
$\Delta$ rpf $G_{xoo}$	Gm <sup>R</sup> , rpf $G_{xoo}$ gene replaced by Gm <sup>R</sup>	This study
$\Delta$ rpf $F + C_{xoo}$	Gm <sup>R</sup> , rpf $F$ and rpf $C$ double gene deletion mutants	This study
$\Delta$ rpf $F + G_{xoo}$	Gm <sup>R</sup> , rpf $F$ and rpf $G$ double gene deletion mutants	This study
$\Delta$ rpf $F_{xoo}$ -F	Sp <sup>R</sup> , $\Delta$ rpf $F_{xoo}$ complemented with pHM1-F	This study
$\Delta$ rpf $C_{xoo}$ -C	Sp <sup>R</sup> , $\Delta$ rpf $C_{xoo}$ complemented with pHM1-C	This study
$\Delta$ rpf $G_{xoo}$ -G	Sp <sup>R</sup> , $\Delta$ rpf $G_{xoo}$ complemented with pHM1-G	This study
<i>X. campestris</i> pv. <i>campestris</i>		
XC1	Rif <sup>R</sup> , Wild-type strain	Wang et al., 2004
FE58	Rif <sup>R</sup> , DSF biosensor	Wang et al., 2004
$\Delta$ rpf $F_{xcc}$	Rif <sup>R</sup> , rpf $F_{xcc}$ knock-out mutant	Wang et al., 2004
$\Delta$ rpf $C_{xcc}$	Rif <sup>R</sup> , rpf $C_{xcc}$ knock-out mutant	Wang et al., 2004
$\Delta$ rpf $G_{xcc}$	Rif <sup>R</sup> , rpf $G_{xcc}$ knock-out mutant	Wang et al., 2004
Plasmid		
pMD18-T simple	Amp <sup>R</sup> , ColE1 origin, T-vector	TaRaKa Co.
pBS-T	Amp <sup>R</sup> , ColE1 origin, T-vector	Tiangen Co.
pK18mobsacB	Kan <sup>R</sup> , mob, sacB	Our laboratory
pBS-F1	pBS-T with F1 fragment	This study
pKS-F1	pK18mobsacB with F1 fragment	This study
pKS-F2	pKSF1 lack 600 bp fragment	This study
pKS-F-Gm	pK18mobsacB with rpf $F_{xoo}$ gene inserted by Gm <sup>R</sup>	This study
pMDS-C1	pMD18-T simple with C1 fragment	This study
pMDS-C2	pMDSC1 with rpf $C_{xoo}$ gene inserted by Gm <sup>R</sup>	This study
pKS-C-Gm	pK18mobsacB with rpf $C_{xoo}$ gene inserted by Gm <sup>R</sup>	This study
pBS-G	pBS-T with G3 fragment	This study
pKS-G1	pK18mobsacB with G3 fragment	This study
pKS-G-Gm	pK18mobsacB with rpf $G_{xoo}$ gene inserted by Gm <sup>R</sup>	This study
pHM1	Sp <sup>R</sup> , Sm <sup>R</sup> , cos, parA, IncW, derivative of pRI40	Hopkins et al., 1992
pHM1-F	pHM1 containing rpf $F_{xoo}$ fragment	This study
pHM1-C	pHM1 containing rpf $C_{xoo}$ fragment	This study
pHM1-G	pHM1 containing rpf $G_{xoo}$ fragment	This study

**1.1.3 引物:**实验中所使用的引物及其序列见表 2。

**1.2  $\Delta$ rpf $F_{xoo}$ 、 $\Delta$ rpf $G_{xoo}$  和  $\Delta$ rpf $C_{xoo}$  单基因缺失突变体构建及其互补**

按照文献[10]的标记交换方法进行基因克隆

及其缺失突变。以 PXO99<sup>A</sup> 基因组 DNA 为模板, 分别利用引物(表 2)进行 PCR 扩增目标基因片段。用引物 rpf $F_{xoo}$ -F/R 扩增得到片段 F1, 连接到 pBS-T, 转化 *E. coli*, 获得质粒 pBS-F1; 用 *Hind* III 和 *Xba* I 双酶切, 电泳回收 rpf $F_{xoo}$  片段, 与经过 *Hind* III 和

表 2 本研究所用引物及其序列

Table 2 The sequences of PCR primers used in this study

Prime	Sequence (5' → 3')	Source
$rpf_{Fxoo}$ -F	CAAGGCATTGGGGCGTTT	This study
$rpf_{Fxoo}$ -R	TCAAGCCGGCGTCAAG	This study
$rpf_{Cxoo}$ -F	AAGCTTCTCCACTGACATGGTTGAAA	This study
$rpf_{Cxoo}$ -R	GGATCCGGATCCCGTCTTGACGCCCTGC	This study
$rpf_{Cxoo}$ -F	GCTAGTCAGAGCCTCGAACAA	This study
$rpf_{Cxoo}$ -R1	CTTCTGCAGATCCCATATCCGCCTTT	This study
$rpf_{Cxoo}$ -F2	CTTCTGCAGGCAGTGGCCGACGTGTT	This study
$rpf_{Cxoo}$ -R	GCCGATGCGGTGGAGAA	This study
$rpf_F$ -F-H	GGTACCGGTATCGTGAAGAAGGACCTGCG	This study
$rpf_F$ -R-H	AAGCTTGCGCTTGCCAGCAATCTGGGGCT	This study
$rpf_C$ -F-H	GAGCTCACGCTCAGCTGGGTGCAATGTTGG	This study
$rpf_C$ -R-H	GTCGACGGCCGCACTCGAACAGCTGATCCGC	This study
$rpf_G$ -F-H	GGTACCGCCAAGGACGGCGGTGACGACGAAG	This study
$rpf_G$ -R-H	AAGCTTAACGTCACAGGACTGCAGGTCAACG	This study

*Xba*I 双酶切的 pK18mobsacB 载体连接, 转化 *E. coli*, 获得重组质粒 pKS-F1; 用 *Sph*I 酶解, 载体纯化后自连, 获得质粒 pKS-F2; 用 *Nsi*I 酶切 pKS-F2, 回收载体片段, 与经过 *Nsi*I 处理的 *Gm*<sup>R</sup> 基因连接, 得到重组质粒 pKS-F-Gm, 用于  $\Delta rpf_{Fxoo}$  突变体的构建。

用引物  $rpf_{Cxoo}$ -F/R 扩增得到片段 C1, 连接到 pMD18-T Simple, 转化 *E. coli*, 获得质粒 pMDS-C1; 用 *Eco*R I 酶解, 电泳回收载体片段, 与经过 *Eco*R I 酶解的 *Gm*<sup>R</sup> 基因片段连接, 得到重组质粒 pMDS-C2; 用 *Hind* III 和 *Bam*H I 双酶切 pMDS-C2, 与经过相同双酶切处理的 pK18mobsacB 连接, 转化 *E. coli*, 获得重组质粒 pKS-C-Gm, 用于  $\Delta rpf_{Cxoo}$  突变体的构建。

用引物  $rpf_{Gxoo}$ -F/R1、 $rpf_{Gxoo}$ -F2/R 进行  $rpf_{Gxoo}$  两端片段 G1 和 G2 的扩增。用 *Pst*I 充分酶切 G1 和 G2 后, 电泳回收, 用 T4 DNA 连接酶进行连接。用引物  $rpf_{Gxoo}$ -F/R 扩增稀释后的连接产物得到片段 G3。将片段 G3 连接到 pBS-T, 转化 *E. coli*, 获得重组质粒 pBS-G。用 *Hind* III 和 *Eco*R I 双酶切 pBS-G, 电泳回收 G3 片段, 与经过相同酶切处理的 pK18mobsacB 连接, 获得重组质粒 pKS-G1。用 *Pst*I 充分酶解 pKS-G1 后, 与经过 *Nsi*I 酶解的 *Gm*<sup>R</sup> 基因片段连接, 得到重组质粒 pKS-G-Gm, 用于  $\Delta rpf_{Gxoo}$  突变体的构建。

用电击法分别将 pKS-F-Gm、pKS-C-Gm 和 pKS-G-Gm 转化到 PXO99<sup>A</sup> 后, 涂布于 PSA + Gm 平板上生长, 对长出的菌落进行 PCR, 筛选和验证突变体。

用引物  $rpf_F$ -F/R-H、 $rpf_C$ -F/R-H 和  $rpf_G$ -F/R-H 扩增  $rpf_{Fxoo}$ 、 $rpf_{Cxoo}$  和  $rpf_{Gxoo}$  全长基因片段, 克隆到广宿主质粒载体 pHM1 上, 获得重组质粒 pHM1-

F、pHM1-C 和 pHM1-G。通过电击转化到对应的突变体中, 涂布于 PSA + Sp 平板上生长, 将长出的菌落重新转接 3 次以上, 得到互补子。对互补菌株进行质粒提取及其酶切验证。

### 1.3 $\Delta rpf_{FCxoo}$ 和 $\Delta rpf_{FGxoo}$ 双基因缺失突变体构建

用电击法将将重组质粒 pKS-F2 分别导入  $\Delta rpf_{Cxoo}$  和  $\Delta rpf_{Gxoo}$  中, 涂布于 LB + Kan 平板上, 在 28℃ 下培养 37 d。将阳性转化子重新转接于 PSA 平板, 28℃ 培养 3~7 d, 挑选单菌落, 利用引物  $rpf_{Fxoo}$ -F/R 进行 PCR, 验证双基因缺失突变体。

### 1.4 DSF 信号产生测定

参照文献[2]的方法进行 DSF 信号检测, 方法未作改动。

### 1.5 EPS 产量测定

参照文献<sup>[8]</sup>的方法进行 EPS 产量测定和文献<sup>[11]</sup>的方法进行菌落形态观察, 方法未作改动。

### 1.6 致病性测定

采用剪叶接种法<sup>[12]</sup>进行致病性测定。将待测细菌在 28℃ 下振荡培养, 离心收集菌体, 用无菌水稀释菌液至  $OD_{600} = 0.5$ , 接种孕穗期水稻品种 IR24 叶片 10 张。在温室条件(温度 25~35℃, 湿度 90% 左右)下, 接种 14 d 后测定叶片病斑长度。

## 2 结果和分析

### 2.1 $\Delta rpf_{Fxoo}$ 、 $\Delta rpf_{Cxoo}$ 、 $\Delta rpf_{Gxoo}$ 、 $\Delta rpf_F + Cxoo$ 和 $rpf_F + Gxoo$ 构建和互补

由于 *Gm*<sup>R</sup> 基因比被置换的  $rpf_{Fxoo}$  片段长 200 bp, 比  $rpf_{Cxoo}$  片段短 200 bp, 比  $rpf_{Gxoo}$  片段长 100 bp, 因此, 用引物  $rpf_{Fxoo}$  F/R、 $rpf_{Cxoo}$  F/R 和  $rpf_{Gxoo}$  F/R 分别从 3 个突变体中扩增的条带与

PXO99<sup>A</sup> 的大小有所不同，并将从突变体中扩增的条带测序进行验证（未列出资料）。结果表明成功获得  $\Delta rpfFxoo$ 、 $\Delta rpfCxoo$  和  $\Delta rpfGxoo$  单基因突变体。

在 PSA + Gm + Sp 平板上培养互补菌株，并转接 3 次以上。从互补菌株中提取质粒并酶切验证（未列出资料）。结果表明成功获得互补菌株  $\Delta rpfFxoo$ -F、 $\Delta rpfCxoo$ -C、 $\Delta rpfGxoo$ -G。

将 pKS-F2 质粒导入  $\Delta rpfCxoo$  和  $\Delta rpfGxoo$  中，将在 LB + Kan 平板上长出的转化子转接到不含抗生素的 PSA 平板上生长，挑选单菌落，利用引物  $rpfFxoo$  F/R 进行 PCR 验证（未列出资料）。挑选验证正确的突变体菌落转接 3-4 次，获得了  $\Delta rpfF$  +

$Cxoo$  和  $rpfF + Cxoo$  双基因突变体。

## 2.2 $\Delta rpfFxoo$ 、 $\Delta rpfCxoo$ 、 $\Delta rpfGxoo$ 、 $\Delta rpfF + Cxoo$ 和 $rpfF + Gxoo$ DSF 信号产生

当外源 DSF 存在时，信号检测菌株 FE58 的 *engXCA* 启动子及其 *gusA* 基因被诱导表达，培养基中的 X-gluc 被分解而形成蓝色晕圈<sup>[2]</sup>。本研究利用 FE58 菌株测定了对 PXO99<sup>A</sup> 和突变体及其互补菌株 DSF 产生（图 1）。PXO99<sup>A</sup> 可以产生 DSF， $\Delta rpfFxoo$ 、 $\Delta rpfF + Cxoo$  和  $\Delta rpfF + Gxoo$  均不产生，而  $\Delta rpfCxoo$  过量产生， $\Delta rpfGxoo$  产量降低。 $rpfFxoo$ 、 $rpfCxoo$  和  $rpfGxoo$  基因可以分别互补相应基因突变体，恢复 DSF 产生表型。

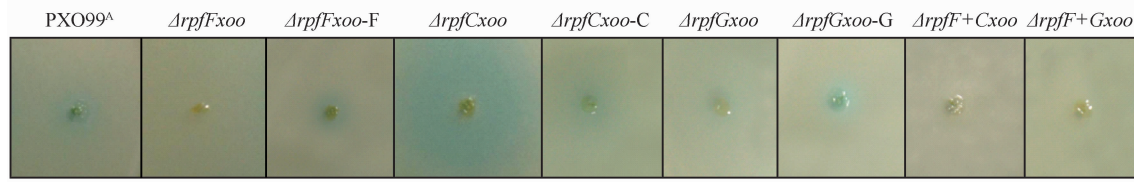


图 1 PXO99<sup>A</sup> 和  $\Delta rpfxoo$  及其互补菌株的 DSF 信号检测

Fig. 1 DSF production of PXO99<sup>A</sup>,  $\Delta rpfxoo$  mutants and complementation strains.

将  $rpfFxoo$ 、 $rpfCxoo$  和  $rpfGxoo$  分别转入到  $\Delta rpfFxcc$ 、 $\Delta rpfCxcc$  和  $\Delta rpfGxcc$  中，可以使 DSF 产生恢复到与野生型 XC1 相同的水平（图 2）。表明

$rpfF$ 、 $rpfC$  和  $rpfG$  在 Xoo 和 Xcc 中对 DSF 产生起着相同的调控作用。

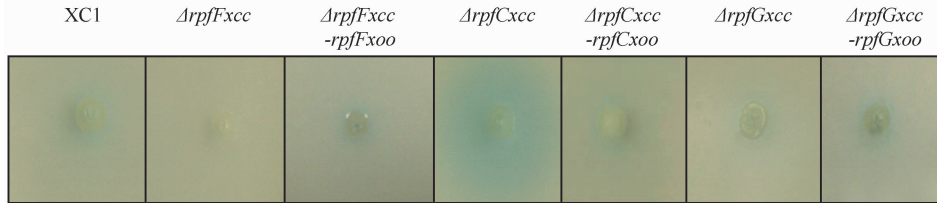


图 2  $rpfxoo$  对  $\Delta rpfxcc$  DSF 产生的互补作用测定

Fig. 2 DSF production of XC1,  $\Delta rpfxcc$  mutants and complementation strains with  $rpfxoo$ .

## 2.3 $\Delta rpfFxoo$ 、 $\Delta rpfCxoo$ 、 $\Delta rpfGxoo$ 、 $\Delta rpfF + Cxoo$ 和 $rpfF + Gxoo$ EPS 产量和菌落形态

与 PXO99<sup>A</sup> 菌落表面产生大量的 EPS 相比，除  $\Delta rpfFxoo$  无显著改变外， $\Delta rpfCxoo$ 、 $\Delta rpfGxoo$ 、 $\Delta rpfF + Cxoo$  和  $\Delta rpfF + Gxoo$  EPS 产量明显降低（图 3-A），菌落形态扁平和干燥（图 3-B）。

## 2.4 $\Delta rpfFxoo$ 、 $\Delta rpfCxoo$ 、 $\Delta rpfGxoo$ 、 $\Delta rpfF + Cxoo$ 和 $rpfF + Gxoo$ 致病性

所有  $\Delta rpfxoo$  突变体引起的病斑长度显著短于 PXO99<sup>A</sup>，互补菌株均能恢复到 PXO99<sup>A</sup> 相似的致病性（图 4）。

## 3 讨论

自从在 Xcc 中发现与高丝氨酸内酯类（AHL）显著不同的 DSF 信号系统以来，已经在一些病原黄胞菌及其亲缘种中陆续检测出 DSF 信号，并鉴定出在结构上与 Xcc 高度同源和保守的  $rpf$  基因簇<sup>[13-19]</sup>。前人曾用 AHL 报告菌株对 26 个 Xoo 菌株进行测试，均未能检测到 AHL 产生，推测 Xoo 可能不产生、或者产量极微、或者产生不能被现有报告菌株所识别的 AHL 信号<sup>[20]</sup>。尽管从 Xoo 基因组中也鉴定出了  $rpfxoo$  基因簇<sup>[6]</sup>，但至今不清楚 Xoo 是否产生 DSF 信号物质。本研究首次报道了利用报告菌株 FE58 能够从 Xoo 菌株 PXO99<sup>A</sup> 中检测到 DSF 产生。此外，发现了  $\Delta rpfFxoo$ 、 $\Delta rpfF + Cxoo$  和  $\Delta rpfF + Gxoo$  均不产生 DSF，而  $\Delta rpfCxoo$  过量产生， $\Delta rpfGxoo$  产量降低。表明在 Xoo 中  $rpfFxoo$  可能与 DSF 合成直接有关，而  $rpfCxoo$  和  $rpfGxoo$  对 DSF 产

自从在 Xcc 中发现与高丝氨酸内酯类（AHL）

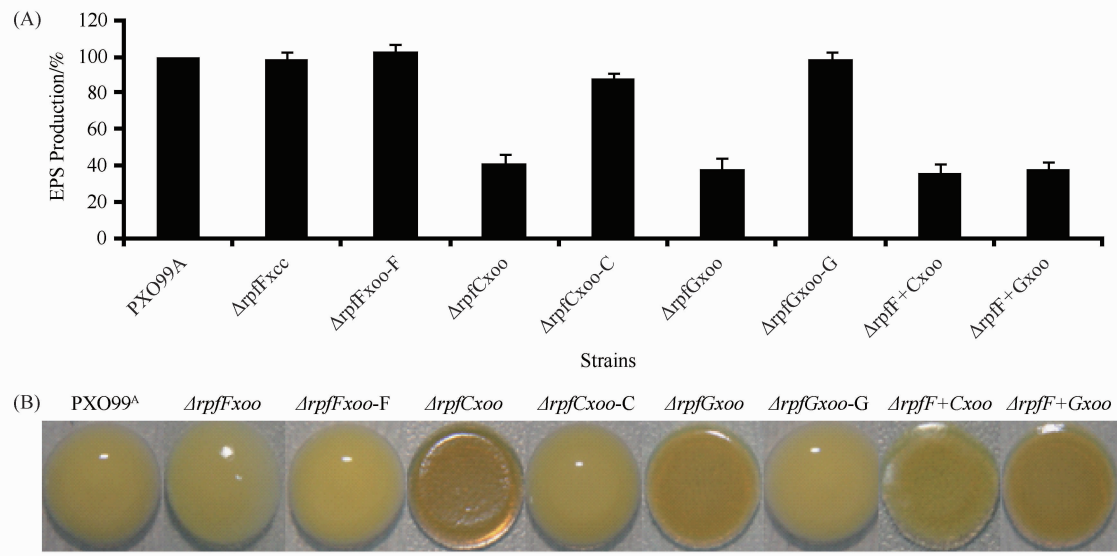


图 3  $\text{PXO99}^{\text{A}}$ 、 $\Delta rpf_{xoo}$  及其互补菌株的胞外多糖检测(A)及菌落形态观察(B)

Fig. 3 EPS production (A) and colony morphology (B) of Xoo strains.



图 4 接种  $\text{PXO99}^{\text{A}}$ 、 $\Delta rpf_{xoo}$  和互补菌株 14 天后的水稻叶片症状

Fig. 4 Bacterial leaf blight of rice 14 d post-inoculation by Xoo strains.

生分别具有负、正调控功能。

本研究揭示了  $rpf_{xoo}$  基因缺失突变对 EPS 产生的不同影响。 $\Delta rpf_{Fxoo}$  具有与  $\text{PXO99}^{\text{A}}$  相同的 EPS 产生能力, 而  $\Delta rpf_{Cxoo}$ 、 $\Delta rpf_{Gxoo}$ 、 $\Delta rpf_{F+Cxoo}$  和  $\Delta rpf_{F+Gxoo}$  EPS 产量明显降低。表明 EPS 产生受  $Rpf_{Cxoo}/Rpf_{Gxoo}$  双组分系统、而非  $Rpf_{Fxoo}$  的调控。推测  $Rpf_{Cxoo}/Rpf_{Gxoo}$  在其上游可能接受环境或者寄主其它信号、而非 DSF 信号, 从而调控了 EPS 产生。

所有  $\Delta rpf_{xoo}$  基因缺失突变体对水稻的致病性

均显著下降, 这与其它研究者的结果是一致的<sup>[7-9]</sup>。表明 DSF/Rpf<sub>xoo</sub> 信号系统对 Xoo 致病性有重要的调控作用。目前正在鉴定和分析 DSF/Rpf<sub>xoo</sub> 信号系统下游的 c-di-GMP 信号途径(待发表资料), 为全面地阐明 Xoo 致病性表达的调控机理提供试验依据。

试验中未能获得  $\Delta rpf_{C+Gxoo}$  双基因缺失突变体。推测其原因可能是  $Rpf_{Cxoo}/Rpf_{Gxoo}$  基因同时突变可能会有致死效应; 或者 2 个基因位置相邻, 发生同源重组的概率低, 导致筛选不到。

## 参考文献

- [ 1 ] He YW, Zhang LH. Quorum sensing and virulence regulation in *Xanthomonas campestris*. *FEMS Microbiological Review*, 2008, 32 (5):842-857.
- [ 2 ] Wang LH, He YW, Gao YF, et al. A bacterial cell-cell communication signal with cross-kingdom structural analogues. *Molecular Microbiology*, 2004, 51:903-912.
- [ 3 ] Barber CE, Tang JL, Feng JX, et al. A novel regulatory system required for pathogenicity of *Xanthomonas campestris* is mediated by a small diffusible signal molecule. *Molecular Microbiology*, 1997, 24:555-566.
- [ 4 ] He YW, Wang C, Zhou L, et al. Dual signaling functions of the hybrid sensor kinase RpfC of *Xanthomonas campestris* involve either phosphorelay or receiver domain-protein interaction. *The Journal of Biological Chemistry*, 2006, 281:33414-33421.
- [ 5 ] 孙蕾, 吴茂森, 何晨阳. 建立以 *lipA* 和 *purH* 为靶基因的实时 PCR 方法对水稻白叶枯病菌侵染过程进行定量分析. 中国农业科学 (*Scientia Agricultura Sinica*), 2007, 40(8):1660-1666.
- [ 6 ] Lee BM, Park YJ, Park DS, et al. The genome sequence of *Xanthomonas oryzae* pathovar *oryzae* KACC10331, the bacterial blight pathogen of rice. *Nucleic Acids Research*, 2005, 33 (2):577-86.
- [ 7 ] Chatterjee S, Sonti RV. *rpfF* mutants of *Xanthomonas oryzae* pv. *oryzae* are deficient for virulence and growth under low iron conditions. *Molecular Plant-Microbe Interactions*, 2002, 15:463-471.
- [ 8 ] Tang JL, Feng JX, Li QQ. Cloning and characterization of the *rpfC* gene of *Xanthomonas oryzae* pv. *oryzae*: involvement in exopolysaccharide production and virulence to rice. *Molecular Plant-Microbe Interactions*, 1996, 9:664-666.
- [ 9 ] Jeong KS, Lee SE, Han JW, et al. Virulence reduction and differing regulation of virulence genes in *rpf* mutants of *Xanthomonas oryzae* pathovar *oryzae*. *The Plant Pathology Journal*, 2008, 24 (2):143-151.
- [ 10 ] Lee SW, Ronald PC. Marker-exchange mutagenesis and complementation strategies for the Gram-negative bacteria *Xanthomonas oryzae* pv. *oryzae* // Ronald PC. *Plant-Pathogen Interaction*. 1<sup>st</sup> ed. Totowa: Humana Press, 2007:11-18.
- [ 11 ] Lim B, Beyhan S, Meir J, et al. Cyclic-diGMP signal transduction systems in *Vibrio cholera*: modulation of rugosity and biofilm formation. *Molecular Microbiology*, 2006, 60:331-348.
- [ 12 ] Nin? o-Liu DO, Darnielle L and Bogdanove AJ. A simple method of mass inoculation of rice effective for both pathovars of *Xanthomonas oryzae*, and the construction of comparable sets of host cDNA libraries spanning early stages of bacterial leaf blight and bacterial leaf streak. *Journal of Phytopathology*, 2005, 153:500-504.
- [ 13 ] Dow JM, Crossman L, Findlay K, et al. Biofilm dispersal in *Xanthomonas campestris* is controlled by cell-cell signaling and is required for full virulence to plants. *Proceeding of the National Academy Science of USA*, 2003, 100:10995-11000.
- [ 14 ] He YW, Xu M, Lin K, et al. Genome scale analysis of diffusible signal factor regulon in *Xanthomonas campestris* pv. *campestris*: identification of novel cell-cell communication-dependent genes and functions. *Molecular Microbiology*, 2006, 59:610-622.
- [ 15 ] Jacques MA, Josi K, Darrasse A, et al. *Xanthomonas axonopodis* pv. *phaseoli* var. *fuscans* is aggregated in stable biofilm population sizes in the phyllosphere of field-grown beans. *Applied and Environmental Microbiology*, 2005, 71:2008-2015.
- [ 16 ] Scarpari LM, Lambais MR, Silva DS, et al. Expression of putative pathogenicity-related genes in *Xylella fastidiosa* grown at low and high cell density conditions *in vitro*. *FEMS Microbiology Letters*, 2003, 222:83-92.
- [ 17 ] Fouhy Y, Scanlon K, Schouest K, et al. Diffusible signal factor dependent cell-cell signaling and virulence in the Nosocomial pathogen *Stenotrophomonas maltophilia*. *Journal of Bacteriology*, 2007, 189:4964-4968.
- [ 18 ] Boon C, Deng Y, Wang LH, et al. A novel DSF-like signal from *Burkholderia cenocepacia* interferes with *Candida albicans* morphological transition. *The ISME Journal*, 2008, 2:27-36.
- [ 19 ] Chatterjee S, Wistrom C, Lindow SE. A cell-cell signaling sensor is required for virulence and insect transmission of *Xylella fastidiosa*. *Proceeding of the National Academy Science of USA*, 2008, 105:2670-2675.
- [ 20 ] Ferluga S, Bigirimana J, Hofte M, et al. A LuxR homologue of *Xanthomonas oryzae* pv. *oryzae* is required for optimal rice virulence. *Molecular Plant Pathology*, 2007, 8:529-538.

# Diffusible signal factor production and virulence expression in *ΔrpfFxoo*, *ΔrpfCxoo* and *ΔrpfGxoo*, the gene deletion mutants of DSF/Rpf signaling proteins of *Xanthomonas oryzae* pv. *oryzae*

Lei Sun, Maosen Wu, Huamin Chen, Chenyang He<sup>\*</sup>

(State Key Laboratory for Biology of Plant Diseases and Insect Pests, Institute of Plant Protection, Chinese Academy of Agricultural Sciences, Beijing 100193, China)

**Abstract:** 【Objective】 To better elucidate the functions of RpfFxoo, RpfCxoo and RpfGxoo, 3 proteins of diffusible signal factor (DSF)-dependent cell-cell signaling system in regulation of virulence expression of *Xanthomonas oryzae* pv. *oryzae* (Xoo). 【Method】 *ΔrpfXoo*, the gene deletion mutants were generated from PXO99<sup>A</sup>, the wild-type strain of Xoo via marker-exchanging and DSF biosynthesis and extracellular polysaccharide production and virulence to rice of the mutants were assayed.

【Result】 *rpfFxoo*, *rpfCxoo* and *rpfGxoo* were cloned from the genomic DNA of PXO99<sup>A</sup> and the relative single or double mutants were constructed. Compared to PXO99<sup>A</sup>, DSF production was deficient in *ΔrpfFxoo*, *ΔrpfFcxx* and *ΔrpfGxcc*, while DSF was overproduced in *ΔrpfCxoo* and reduced in *ΔrpfGxoo*. DSF production of *ΔrpfFxcc*, *ΔrpfCxcc* and *ΔrpfGxcc*, the mutants of *X. campestris* pv. *campestris* can be restored as XC1, the wild-type strain by *in trans* complementation of *rpfFxoo*, *rpfCxoo* and *rpfGxoo*. All the mutants except *ΔrpfFxoo* were remarkably deficient in production of extracellular polysaccharide. All the mutants significantly exhibited the reduced bacterial virulence to rice.

【Conclusion】 DSF signaling proteins RpfFxoo, RpfCxoo and RpfGxoo might function in regulation of DSF biogenesis and EPS production and bacterial virulence.

**Keywords:** *Xanthomonas oryzae* pv. *oryzae*; diffusible signal factor (DSF); *rpf*; virulence; regulation

(本文责编:王晋芳)

Supported by the Special Funding of State Key Laboratory of China (SKL2009SR03)

\* Corresponding author. Tel: +86-10-62894147; E-mail: cyhe@caas.net.cn

Received: 24 November 2009/Revised: 28 January 2010

## 《微生物学报》审稿程序

问: 贵刊的审稿程序是怎样的? 一般多长时间可以知道稿件是否被录用?

答: 本刊严格遵守“三审制”, 即: 编辑部内审, 专家外审, 主编总审。从投稿日期开始, 争取在2个月内给出审稿结果, 5~7个月之内发表。

- (1) 收到来稿后, 首先将请2位专家进行初审, 再送主编进行最后的总审, 这个过程一般不会超过2个月。如果初审2位专家的意见分歧较大, 编辑部将再请第3位专家进行初审, 之后再送主编总审, 那么此稿的审理时间可能会超过2个月。
- (2) 完成审稿后(即主编给出总审意见), 编辑会给作者发出E-mail告知修改意见(包括学术上的和写作格式上的)。作者在返回修改稿后, 经本刊审核合格后方可被录用。

在此提醒作者, 在没有完成全部审稿之前, 不要在远程系统中看到初审意见时就急于返回修改稿件。